

## دسلوفوره و حذف ترکیبات سولفوره و اورگانوفسفره با استفاده از کاتالیست

### کامپوزیتی $\text{MnO}_2$ Nanoparticles/Zeolite AgY

میثم صادقی<sup>\*</sup> ، محمد رضا شهدادی ، حسین طولابی و میر حسن حسینی

گروه شیمی، دانشکده علوم پایه، دانشگاه جامع امام حسین(ع)، تهران، ایران

تاریخ پذیرش: ۹۱/۳/۲۸

تاریخ دریافت: ۹۰/۱۱/۱۲

چکیده:

در این تحقیق، زئولیت  $\text{NaY}$  مولکولارسو به روش هیدروترمال تهیه شد. سپس بونهای نقره در زئولیت  $\text{NaY}$  با استفاده از نقره نیترات  $\text{AgNO}_3$  و روش تبادل یونی برای تهیه زئولیت  $\text{AgY}$  جایگزین گردیدند. در مرحله بعدی، نانوذرات منگنز دی اکسید (به عنوان مهمان) به میزان ۹/۳٪ و ۱۵٪ درصد وزنی در زئولیت  $\text{AgY}$  (به عنوان میزبان) با استفاده از محلول های  $\text{KMnO}_4$  و  $\text{Mn}(\text{NO}_3)_2$  به روش سنتر فضای محدود (CSS) تهیه شدند. نمونه های سنتز شده با روش های  $XRD$ ،  $SEM/EDAX$  و  $FTIR$  مورد شناسایی قرار گرفتند. واکنش دسلوفوره و حذف ترکیبات سولفوره کلرو اتیل اتیل سولفید (CEES)، کلرو اتیل فنیل سولفید (CEPS) و اورگانوفسفره دمتون و دی متیل فسفونات به وسیله کاتالیست کامپوزیت  $\text{Kamposiyet MnO}_2/\text{Zeolite AgY}$  با در نظر گرفتن اثرات پارامترهای مختلف مانند حلال و زمان به وسیله کروماتوگرافی گازی (GC) و  $^{31}\text{PNMR}$  بررسی شده است. سپس محصولات حذفی و تخریبی واکنش ها به وسیله کروماتوگرافی گازی- طبق جرمی (GC-MS) شناسایی شدند. محصولات حاصل دارای سمیت کمتری نسبت به ترکیبات سولفوره و اورگانوفسفره تحت واکنش می باشدند.

**واژگان کلیدی:** کامپوزیت Y، nano- $\text{MnO}_2/\text{Zeolite AgY}$ ، کلرو اتیل اتیل سولفید، کلرو اتیل فنیل سولفید، دمتون، دی متیل متیل فسفونات، دسلوفوره.

مقدمه:

کلرو اتیل اتیل سولفید (CEES)، کلرو اتیل فنیل سولفید (CEPS)، دمتون<sup>i</sup> و دی متیل متیل فسفونات (DMMP) به ترتیب جزء کلاس ترکیبات شامل مواد سولفوره و ارگانوفسفره با سمیت بالا به حساب آمده که به عنوان آفتکش در سوم کشاورزی مورد استفاده قرار می گیرند (شکل ۱-۴). در سال های اخیر تلاش های علمی گسترده ای به منظور یافتن راهی موثر و بدون خطر برای حذف این مواد سمی بدون آسیب رساندن به انسان و محیط زیست صورت گرفته است. روش های معمول برای حذف مواد آفتکش، شامل استفاده از محلول هایی مانند سدیم کربنات، بلیچ،  $\text{HDO}_2$ <sup>ii</sup>،  $\text{DS}_2$ <sup>ii</sup> بود. این مواد به علت عواملی چون خورنده‌گی و محدودیت در ذخیره سازی دارای معایب هستند. یکی از مهمترین روش های جذب و تخریب استفاده از موادی است که قابلیت هر دو جذب فیزیکی و شیمیایی را دارا می باشد. سیستم های الک مولکولی زئولیتی و نانوذرات اکسید فلزی یکی از کارآمدترین جاذب ها برای این کار محسوب می شوند [۵]. این مواد به دلیل خواص شیمیایی و فیزیکی

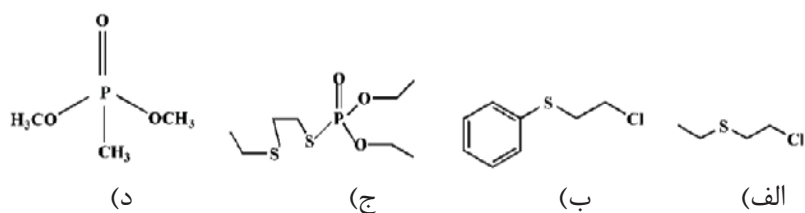
\*. نویسنده مسؤول: کارشناس ارشد شیمی گرایش معدنی

meysamsadeghi45@yahoo.com

<sup>i</sup> Demeton

<sup>ii</sup> Decontaminated solution 2

منحصر به فرد در سال‌های اخیر بسیار مورد توجه قرار گرفته‌اند. این ترکیب‌ها نه تنها قابلیت حذف مواد صنعتی سمی را دارند، بلکه آزمایش‌های مختلف حاکی از قابلیت فوق‌العاده آن‌ها در تخریب ترکیبات سولفوره از طریق واکنش هیدرولیز می‌باشد [۶-۱۰]. زئولیت یک نوع پلیمر معدنی به شمار آمده و از آلومینو سیلیکات‌های فلزات فلیایی و فلیایی خاکی و در بعضی موارد از فلزات واسطه تشکیل شده‌اند. واحدهای تترا اکسید آلومینیوم و تترا اکسید سیلیسیم مهم‌ترین بنیان‌های تشکیل دهنده‌ی ساختمان زئولیت به شمار می‌آیند. از کنار هم قرار گرفتن این واحدهای اولیه، واحدهای ثانویه و از تکرار این واحدها، واحدهای نهایی سودالیت، پنتاسیل و غیره تشکیل خواهد شد که ساختار اصلی زئولیتها از آن‌ها ناشی می‌شود. فرمول کلی زئولیتها بر اساس ساختمان سه بعدی آن‌ها به صورت  $M_{2/n}O \cdot Al_2O_3 \cdot ySiO_2 \cdot wH_2O$  می‌باشد. در این فرمول،  $n$ ،  $y$  و  $w$  به ترتیب نشان دهنده‌ی ظرفیت کاتیون، تعداد اتم‌های سیلیسیم و تعداد مولکول‌های آب کوئور دینه شده می‌باشند. یکی از مهم‌ترین زئولیتها، فوژاسیت<sup>iv</sup> یا زئولیت نوع-Y است[۷]. این زئولیت از دو قسمت قفس کوچک بتا و سوپر قفس آلفا تشکیل شده است. قطر منافذ آن بیشتر از  $7/4$  آنگستروم و دارای حلقه‌ی ۱۲ عضوی اکسیژن می‌باشد. از طرفی دارای حجم کسری  $0/48$  با نسبت سیلیسیم به آلومینیوم حدود  $2/43$  و در دمای  $793$  درجه‌ی سانتی‌گراد آب موجود در منافذ خود را از دست می‌دهد[۸]. در این تحقیق سعی شده است با توجه به اهمیت ویژه‌ی زئولیتها و نانوذرات اکسید فلزی در جذب و تخریب مواد سولفوره و ارگانوفسفره، برای اولین بار از کامپوزیت نانو ذرات منگنز دی اکسید/زئولیت Y به علت عملکرد و قدرت کاتالیستی بالا جهت دسولفوره کردن و حذف کلرو اتیل سولفید، کلرو اتیل فنیل سولفید، دمتون و دی متیل متیل فسفونات استفاده شود. در این کار ما برای سنتز نانوذرات، از یک روش جدید به نام فضای محدود<sup>v</sup> استفاده کرده و ذرات را در منافذ ساختاری زئولیت تهیه کردیم. مزیت‌های استفاده از این روش در دسترس بودن وسایل و مواد، کم هزینه بودن آن و کنترل اندازه ذرات سنتزی می‌باشد.



شکل ۱. ساختارهای مولکول‌های سولفوره و ارگانوفسفره، (الف) کلرو اتیل سولفید، (ب) کلرو اتیل فنیل سولفید (ج) دمتون و (د) دی متیل متیل فسفونات

<sup>iv</sup> Aluminosilicate

<sup>v</sup> Faujasite

<sup>v</sup> Confined space synthesis(CSS)

**بخش تجربی:**

**مواد شیمیایی و دستگاهها:**

سدیم هیدروکسید، آلومینیوم تترا هیدرات، سدیم سیلیکات از شرکت مرک آلمان، منگنز نیترات شش آبه  $Mn(NO_3)_2 \cdot 6H_2O$  با درجه خلوص AR و نقره نیترات از شرکت Loba Chimie کشور هندوستان، کلرو اتیل اتیل سولفید و کلرو اتیل فنیل سولفید از شرکت Alfa Aesar، دمتون و دی متیل متیل فسفونات، تولوئن، هگزان و متانول، استونیتریل، دکان و متانول و پنتان با خلوص ۹۸٪ و کلروفرم دوتره، فسفریک اسید با درصد خلوص ۸۵٪ از شرکت مرک آلمان خریداری شده‌اند. دستگاه‌های مورد استفاده عبارتند از: دستگاه SEM/EDAX مدل 7353 (LEO 1455) که با بزرگنمایی‌های مختلف برای تصویر برداری و آنالیز عناصر به کار گرفته شد. XRD مدل Sheifert 3003 TT که منبع نور X-ray مورد استفاده در آن تفنگ نشر کننده  $Cu k\alpha$  و عمل خواندن در زاویه ۴–۹۰ درجه بود. دستگاه IR، FTIR مدل Spectrum 100 ساخت شرکت Perkin Elmer برای بررسی ساختارهای زئولیت‌ها و کامپوزیت به کار گرفته شد. از دستگاه GC ساخت شرکت Varian Star 3400 CX و اکنش دسلوفوره و حذف ترکیبات سولفوره و اورگانوفسفره به وسیله کامپوزیت استفاده شد. دمای تزریق و دمای دتکتور  $230^{\circ}C$ ، دمای ثابت اولیه  $60^{\circ}C$  برای ستون به مدت ۶ دقیقه، تغییر دما از  $60^{\circ}C$  به  $220^{\circ}C$  با شیب  $20^{\circ}C/min$  و ثابت ماندن  $220^{\circ}C$  در  $13^{\circ}C$  برای ۱۳ دقیقه برنامه دمایی استفاده شده بود. برای شناسایی محصول حاصل از تخریب کلرو اتیل سولفید (CEES)، کلرو اتیل فنیل سولفید (CEPS) و دمتون<sup>vi</sup> از دستگاه GC-MS ساخت شرکت Varian Star 3400 CX با منبع یونش الکترونی و ستون مویین DB 5 MS, 101 mic, 30 m × 0.25 mm و جریان هلیوم با سرعت  $10 ml/min$  استفاده شد. دستگاه NMR مدل Bruker (250 MHz) برای بررسی واکنش جذب و حذف دی متیل متیل فسفونات توسط کامپوزیت و دستگاه سانتریفیوژ مدل Universal CAT.NO.1004 ساخت شرکت Sartorius برای عمل جداسازی در واکنش جذب مورد استفاده قرار گرفت.

**سنتر زئولیت  $NaY$  به روش هیدروترمال:**

برای سنتر زئولیت  $NaY$ ، ۱۰ گرم سدیم هیدروکسید در ۱۰ گرم آب حل شد. سپس ۹/۷۵ گرم آلومینیوم تترا هیدرات به محلول اضافه شد و تا دمای ۱۰ درجه سانتی‌گراد مخلوط هم زده شد. در ادامه مخلوط در دمای ۲۵ درجه سانتی‌گراد خشک شد و سپس با ۲۰/۲۵ گرم آب مخلوط گردید. ۲۱/۹۷ گرم سدیم سیلیکات، ۶۱/۲ گرم آب و ۵/۹ گرم سدیم هیدروکسید با هم مخلوط شدند و سرانجام دو محلول خیلی سریع با هم مخلوط شده و به مدت ۳۰ دقیقه توسط همزن مغناطیسی همراه شدند.

<sup>vi</sup> Demeton

در ادامه سوسپانسیون به یک بطری پلی اتیلنی منتقل و در اتوکلاو به مدت ۸ ساعت در دمای ۶۰ درجه سانتی گراد قرار داده شد. سپس محصول جامد صاف و با آب مقطر در pH حدود ۸ شسته و در دمای ۱۰۰ درجه سانتی گراد در کوره خشک شد.[۵].

#### تهییه زئولیت نقره‌ای AgY به روش تبدال یونی:

ابتدا ۲ گرم از زئولیت NaY سنتز شده به مدت ۴ ساعت در دمای ۴۰۰ درجه سانتی گراد کلسینه شد. پس از کلسینه کردن، ۵۰ میلی لیتر  $1\text{MgNO}_3$  مولار به آن اضافه شد. بعد مخلوط به مدت ۵ ساعت در دمای ۶۰ درجه سانتی گراد توسط همزن مغناطیسی هم زده شد. بعد از سنتز زئولیت AgY، صاف شده و با آب دیونیزه شستشو داده شد. بعد از شستشو دادن، زئولیت سنتز شده به مدت ۱۶ ساعت در دمای ۱۱۰ درجه سانتی گراد قرار گرفت تا خشک شود. در آخر زئولیت Y خشک شده به کوره‌ی گرمایی انتقال یافته تا به مدت ۴ ساعت در دمای ۴۰۰ درجه سانتی گراد کلسینه شود[۱۲].

#### سنتز کامپوزیت nano-MnO<sub>2</sub>/Zeolite AgY

برای سنتز کامپوزیت، ۰/۵ گرم زئولیت Y به ۲۰ میلی لیتر از نیترات آبدار منگنز  $\text{Mn}(\text{NO}_3)_2 \cdot 6\text{H}_2\text{O}$  اضافه و به مدت ۴ تا ۵ ساعت به وسیله همزن مغناطیسی هم زده شد. سپس، ۵۰ میلی لیتر پتابسیم پرمنگنات KMnO<sub>4</sub> به محلول در حال همزدن اضافه گردید. در ادامه نمونه به مدت یک شبانه روز (۲۴ ساعت) در دمای ۱۰۰ درجه سانتی گراد قرار داده شد تا خشک شود. در انتهای محصول در دمای ۵۰۰ درجه سانتی گراد به مدت ۴ ساعت کلسینه شد[۱۳-۱۵].

واکنش دسولفوره و حذف کلرو اتیل سولفید، کلرو اتیل فنیل سولفید و دمتون به وسیله کامپوزیت-

#### :GC-MS و GC توسط MnO<sub>2</sub>/Zeolite AgY

در این مرحله مقدار ۱۰ میکرولیتر از کلرو اتیل اتیل سولفید(کلرو اتیل فنیل سولفید یا دمتون) در ۵ میلی لیتر حلal هگزان (متانول) یا اتانول (استونیتریل-آب-اتانول) حل گردیده و ۱۰ میکرولیتر استاندارد درونی تولوئن یا دکان به آنها افزوده شد (علت استفاده از حلal این بود که باعث پخش یکنواخت ترکیبات سولفوره و ارگانوفسفره بر روی کامپوزیت می‌شود بدون اینکه اثری منفی بر روی روند واکنش داشته باشد). در ادامه ۲۰۰ میلی گرم از کامپوزیت سنتز شده را در این محلول ریخته و به وسیله همزن مغناطیسی هم زده شدند. پس از گذشت زمان‌های ۰، ۲، ۴، ۶، ۸، ۱۰، ۱۲ و ۱۴ ساعت به ترتیب برای کلرو اتیل سولفید و دمتون، به وسیله میکروسرنگ، ۱ میکرولیتر از محلول‌ها استخراج و به دستگاه‌های GC و GC-MS تزریق شدند.

واکنش حذف و جذب دی متیل فسفونات به وسیله کامپوزیت AgY nano-MnO<sub>2</sub>/Zeolite با استفاده از

### تکنیک <sup>1</sup>PNMR:

برای تهیه محلول شاهد، از محلول ۰/۰۳ مولار اسید فسفریک استفاده شد. اسید فسفریک موجود ۸۵٪ و چگالی آن ۱/۵ g/ml می‌باشد. برای تهیه ۲۵ میلی‌لیتر از محلول ۰/۰۳ مولار اسید فسفریک، مقدار ۰/۰۵ میلی‌لیتر از اسید فسفریک را توسط آب مقطر در داخل یک بالن ژوژه به حجم ۲۵ میلی‌لیتر رساندیم. سپس آن را درون لوله موبین ریخته و دو سر لوله را به وسیله حرارت بستیم. برای تهیه ۱۰ میلی‌لیتر محلول مولار ماده‌ای ارگانو فسفره دی متیل متیل فسفونات، مقدار ۳۷ میکرولیتر از این ماده را با حلal هگزان در داخل بالن ژوژه ۱۰ میلی‌لیتری به حجم رساندیم.

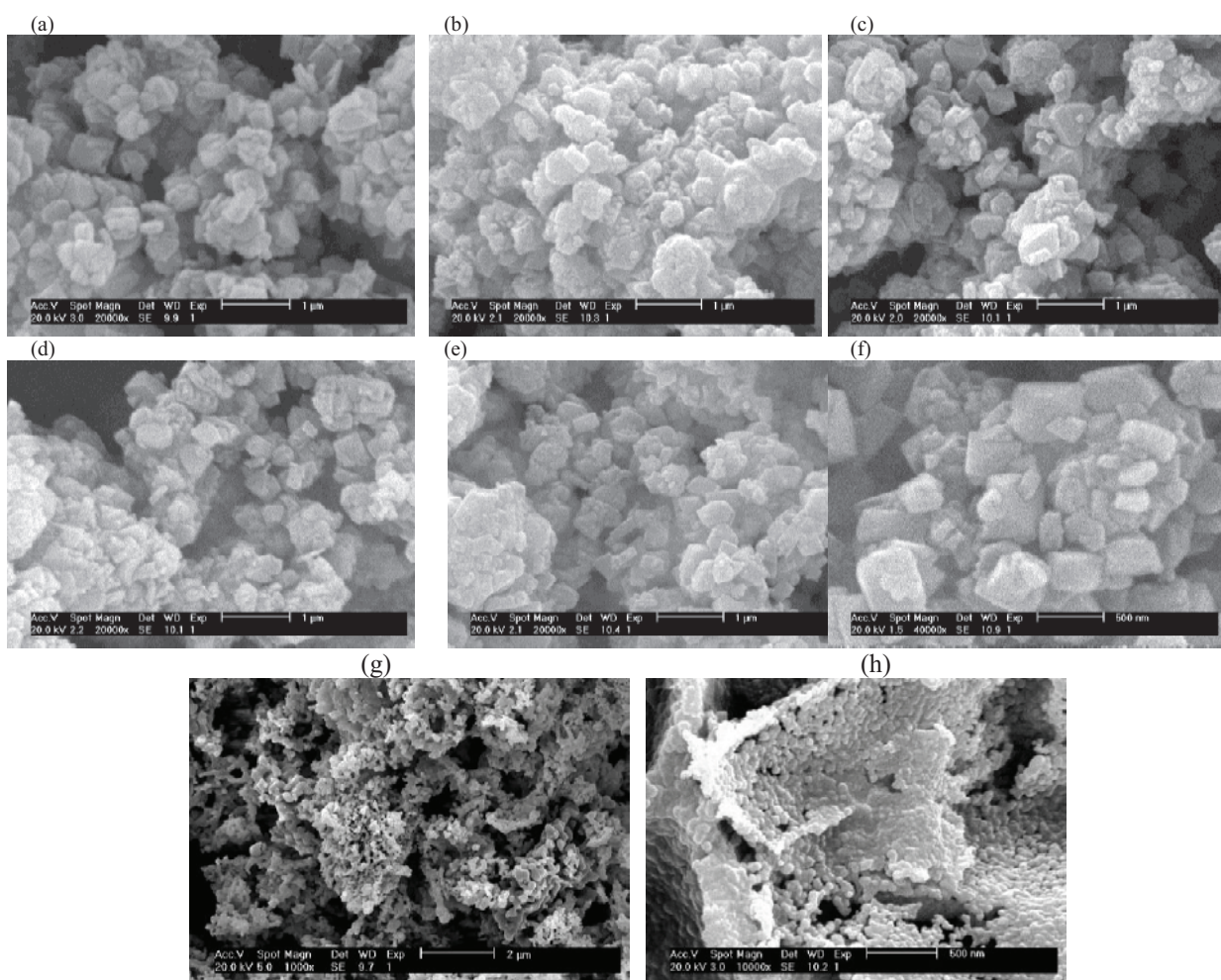
برای حذف و جذب دی متیل فسفونات، ابتدا مقدار ۱۰ میلی‌لیتر از آن را درون یک ارلن ریخته و آن را توسط یک مگنت با سرعت ۵۰۰ rpm هم زدیم. سپس مقدار ۰/۴۸ گرم از کاتالیست کامپوزیت AgY nano-MnO<sub>2</sub>/Zeolite به محلول اضافه کرده و درب آن را محکم بسته تا از فراریت حلal جلوگیری شود. سپس در زمان‌های مختلف، توسط یک سرنگ میلی‌لیتری به اندازه یک میلی‌لیتر از محلول جدا کرده و درون لوله سانتریفیوژ ریخته و با سرعت ۵۰۰ rpm به مدت ۵ دقیقه عمل جداسازی را انجام دادیم. سپس برای آنالیز <sup>31</sup>PNMR مقداری از محلول بالایی را درون تیوب NMR ریخته و لوله موبین را که در درون آن اسید فسفریک ۰/۰۳ مولار ریخته بودیم را در درون تیوب انداخته و به آن کلروفوم دوتره اضافه نموده و آن را به حجم ۰/۴ میلی‌لیتر رساندیم.

### بحث و نتیجه گیری:

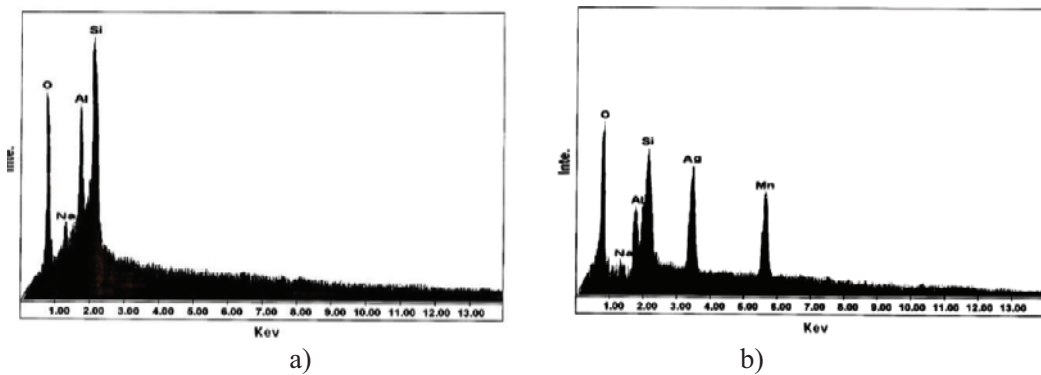
تبادل یونی تکنیکی است که در آن ترکیب در یک محلول آبی از یک نمک قابل اتحال قرار می‌گیرد. این واکنش شامل جایگزین شده یک یون به جای یون دیگر است.  $\text{Ag}^+$  یک کاتیون تک ظرفیتی آزاد بوده که به صورت ذراتی تک هسته‌ای با پایداری بالا می‌باشد و به علت اثر قوی بر روی خواص جذب زئولیتها شناخته شده است. زئولیت سدیمی نسبت به زئولیت NaY(Si/Al = ۱-۱/۵) دارای مقدار آلومینیوم کمتری می‌باشد، به همین دلیل خاصیت کاتالیستی آن کاهش می‌یابد. لذا برای افزایش کارایی این ترکیب از روش تبادل یونی استفاده شده و در طی آن یون‌های نقره جایگزین یون‌های سدیم در منافذ داخلی و کانال‌های زئولیت شدند. در مرحله بعدی، نانو ذرات منگنز دی اکسید به روش فضای محدود در قفسه‌های کوچک بتا و سوپر قفسه‌های آلفای زئولیت YAg به دام افتاده و از این طریق ذرات به صورت کنترل شده سنتز شدند(شکل ۱).

## بررسی مورفولوژی، خواص ذرهای و ساختاری ترکیبات سنتز شده به وسیله XRD، EDAX، SEM و FTIR

برای بررسی مورفولوژی زئولیت‌ها و کامپوزیت‌ها از میکروسکوپ الکترونی روبشی (SEM) استفاده شد. نمونه‌ها پس از ترکیب با اتانول به وسیله طلا پوشش داده و تحت پلاسمای قرار می‌دهیم تا خشک شوند، سپس از آن‌ها تصاویر SEM می‌گیریم (شکل ۲). در اثر جایگزین کردن عنصر نقره به جای سدیم، مورفولوژی و اندازه‌ی ذرات مکعبی تشکیل دهنده‌ی زئولیت Y AgY تغییر نخواهد کرد. وقتی نانوذرات منگنز دی اکسید در منافذ زئولیت نقره‌دار AgY سنتز شدند باز هم در مورفولوژی و اندازه‌ی ذرات مکعبی سازنده کامپوزیت تغییر مشاهده نخواهد شد که نشان دهنده‌ی این است که ساختار زئولیت در حین سنتز نانو ذرات در آن تغییر نکرده و به عبارت دیگر دچار تخریب نشده است. آنالیزهای عنصری زئولیت Y NaY و کامپوزیت Y nano-MnO<sub>2</sub>/Zeolite AgY با وسیله EDAX در شکل ۳ نشان داده شده است. عناصر سازنده‌ی کامپوزیت را با درصدهای ۲۲/۱۴ و ۱۵/۸ به ترتیب برای نقره و منگنز نشان می‌دهد.

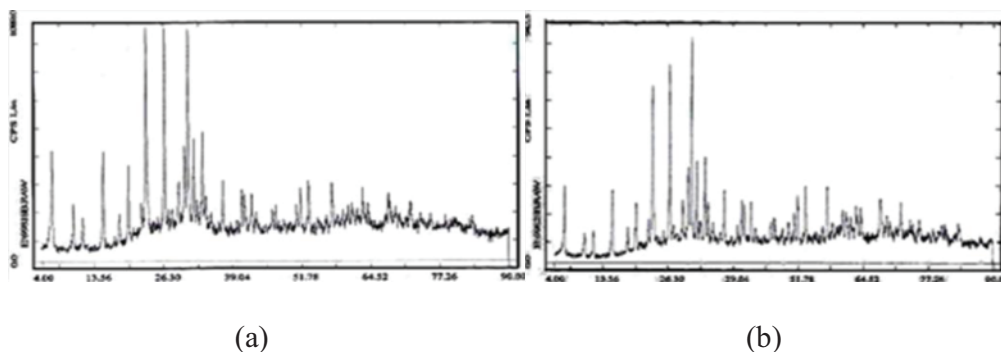


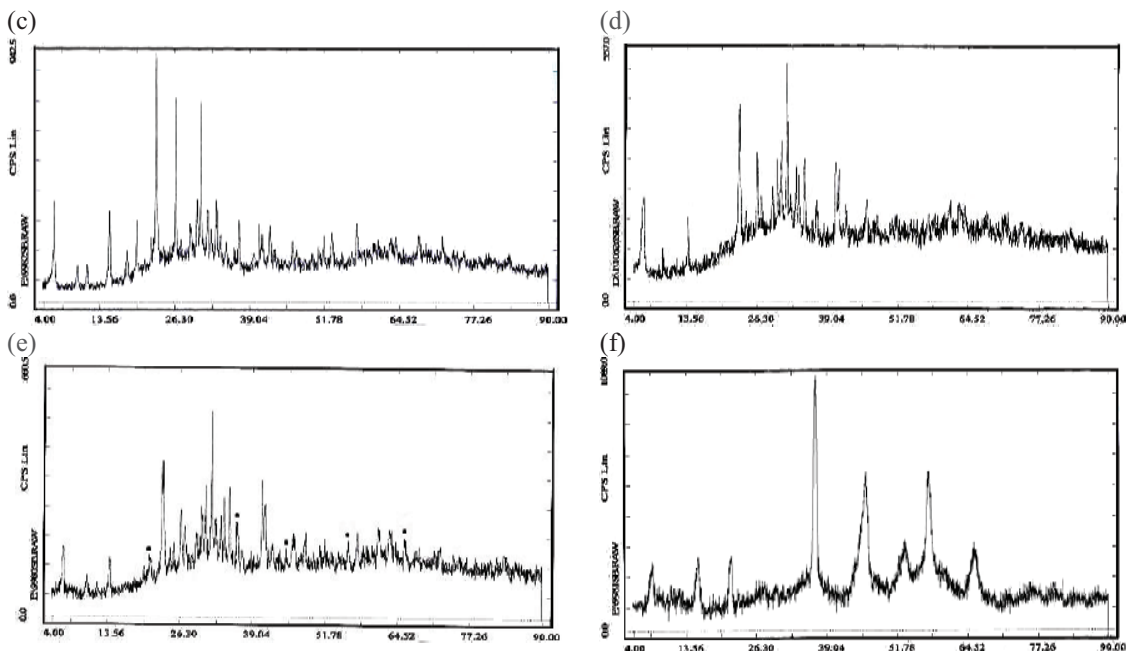
شکل ۲ تصاویر SEM N 15.8 wt% MnO<sub>2</sub>/ AgY(2) (e 9.3 wt% MnO<sub>2</sub>/ AgY(2) (d AgY(2) (c , AgY(1) (b , NaY (a SEM MnO<sub>2</sub> Ps (i, h

شکل ۳. الگوهای آنالیز 15.8 wt%  $\text{MnO}_2/\text{AgY}(2)$  (b)  $\text{NaY}$  (a EDAX

### الگوی پراش اشعه ایکس (XRD):

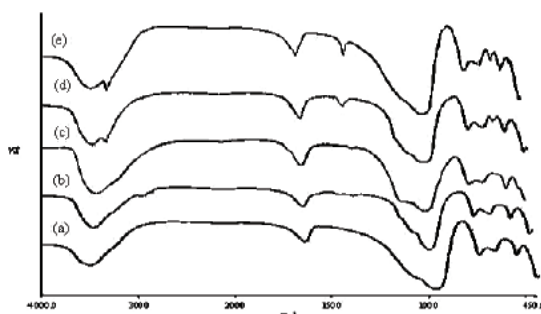
از الگوی XRD برای بررسی خواص ذرهای و ساختاری زئولیت‌ها و کامپوزیت‌های سنتزی استفاده شده است.. از مقایسه الگوی پراش اشعه ایکس زئولیت‌های  $\text{NaY}$  و  $\text{AgY}$  می‌توان گفت که با جایگزین شدن عنصر نقره به جای سدیم در ساختار زئولیت  $\text{NaY}$  به جزء کاهش جزئی در شدت پیک‌های زئولیت  $\text{AgY}$  هیچ‌گونه تغییر دیگری مشاهده نمی‌شود و این خود دلیلی بر این ادعاست که ساختار زئولیت در حین تبادل یونی تخریب نشده است. همچنین از مقایسه الگوهای پراش اشعه ایکس زئولیت  $\text{AgY}$  با کامپوزیت‌های nano- $\text{MnO}_2/\text{Zeolite AgY}$  مشخص می‌شود که فقط شدت برخی پیک‌ها کاهش یافته و پیکی حذف نشده است. از طرف دیگر ظاهر شدن یک سری پیک جدید در الگوی پراش استنباط کرد که نانوذرات  $\text{MnO}_2$  در ساختار زئولیت  $\text{AgY}$  محدود شده‌اند (شکل ۴ و ۵). محاسبه اندازه کریستالی ذرات با استفاده از رابطه دبای شر نشان می‌دهد که اندازه‌ی آن‌ها در حدود ۱۲ نانومتر می‌باشند. همچنین با استفاده از رابطه شر اندازه نانوذرات منگنز دی اکسید ۴۶ نانومتر تعیین شد. در این معادله،  $\lambda$  طول موج اشعه X مورد استفاده در دستگاه که در اینجا معادل ۰/۱۵۴ نانومتر می‌باشد،  $\theta$  زاویه پراش می‌باشد و  $\beta$  پهنای پیک در نصف ارتفاع آن می‌باشد که به صورت FWHM بیان می‌شود.

شکل ۴. الگوهای XRD ،  $\text{AgY}(1)$  (b ,  $\text{NaY}$  (a

شکل ۵ MnO<sub>2</sub> NPs ( f 15.8 wt% MnO<sub>2</sub>/ AgY(2) (e 9.3 wt -MnO<sub>2</sub>/ AgY(2) (d AgY(2) (c .۵

## مادون قرمز تبدیل فوریه (FTIR)

طیفهای FTIR زئولیت‌های سنتز شده nano-MnO<sub>2</sub>/Zeolite AgY و کامپوزیت AgY-NaY در شکل (۶) نشان داده شده است. پیک‌های متعلق به H<sub>2</sub>O جذبی تقریباً در حوالی عدد موجی ۳۴۷۹ cm<sup>-1</sup> و ۱۶۳۴ ظاهر شده‌اند. پیک ظاهر شده در ناحیه ۳۴۷۹ cm<sup>-1</sup> مربوط به ارتعاش کششی O-H و پیک ۱۶۳۴ cm<sup>-1</sup> مربوط به ارتعاش خمسي H-O-H می‌باشد. پیک ظاهر شده در محدوده ۹۰۰-۱۰۰۰ cm<sup>-1</sup> مربوط به ارتعاش کششی نامتقارن T-O (T=Si, Al) است. پیک‌های ظاهر شده در محدوده زیر ناحیه ۹۹۰ cm<sup>-1</sup> تا ۵۰۰ مربوط به ارتعاش کششی متقارن O-T-O است. پیکی که در ۴۶۶ cm<sup>-1</sup> ظاهر شده مربوط به ارتعاش خمسي O-T می‌باشد. در طیف مادون قرمز کامپوزیت سنتزی nano-MnO<sub>2</sub>/Zeolite AgY پیک‌های ظاهر شده در نواحی ۳۴۱۶ cm<sup>-1</sup> و ۱۴۳۰ مربوط به ارتعاشات کششی و خمسي O-H و پیک ۵۷۰ cm<sup>-1</sup> وجود پیوند Mn-O را تایید می‌کنند.

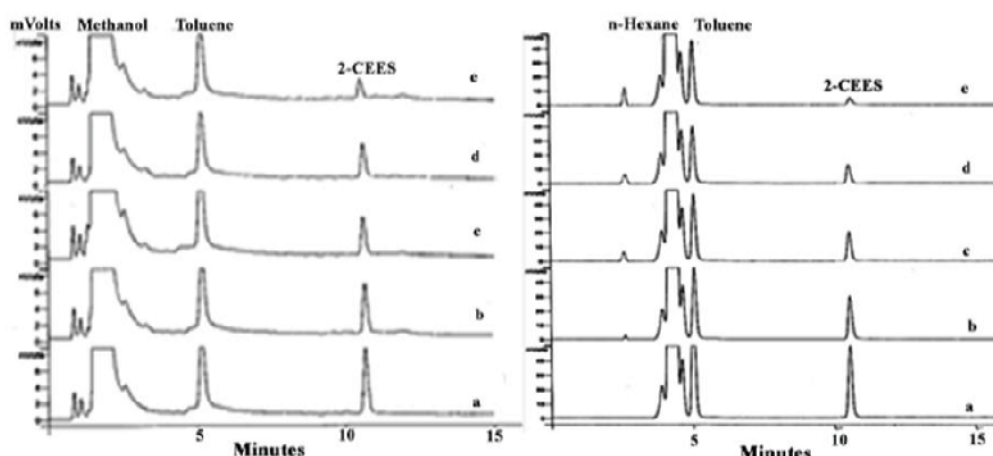
شکل ۶ طیفهای IR زئولیت 15.8 ۹.۳ wt% MnO<sub>2</sub>/Zeolite AgY(2) (d AgY(2) (c ,، AgY(1) (b , NaY (a

بررسی میزان دسلوفوره (جذب و تخریب) ترکیبات سولفوره کلرو اتیل اتیل سولفید و کلرو اتیل فنیل سولفید

به وسیله کامپوزیت nano-MnO<sub>2</sub>/Zeolite AgY با روش‌های GC و GC-MS

بررسی واکنش کامپوزیت nano-MnO<sub>2</sub>/Zeolite AgY در دمای محیط ( $25\pm1^{\circ}\text{C}$ ) با ترکیب کلرو اتیل سولفید و کلرو اتیل فنیل سولفید با روش کروماتوگرافی گازی (GC) نشان می‌دهد که این جاذب قابلیت بالایی برای جذب و تخریب این ترکیبات سولفوره را دارد، بهطوری که پس از ۱۰ ساعت در حلal هگزان ، ۹۱٪ از آن در تماس با کامپوزیت جذب/تخریب می‌شود در حالی که در حلal متانول در شرایط مشابه ۷۷٪ از آن را جذب/ تخریب نمایند. برای واکنش کلرو اتیل فنیل سولفید بعد از ۱۲ ساعت، ۱۰۰ و ۷۳ درصد از ترکیب به ترتیب در حلal‌های پنتان و متانول جذب و تخریب خواهد شد. از مقایسه آزمایش در حلal‌های متفاوت می‌توان نتیجه گرفت که هرچه حلal قطبی‌تر باشد به علت رقابت بر سر اشغال سایتها فعال کامپوزیت، اجازه کمتری بهشیه عامل جهت واکنش با نانوذرات داده می‌شود. بنابراین در این آزمایش متانول و پنتان که قطبیت بیشتری دارد نتایج ضعیفتری را به دنبال خواهد داشت در صورتی که بهترین نتیجه را حلal‌های هگزان و

پنتان نشان می‌دهند. کروماتوگرامها در شکل‌های (۷) و (۸) و جدول‌های ۱ و ۲ نشان داده شده است



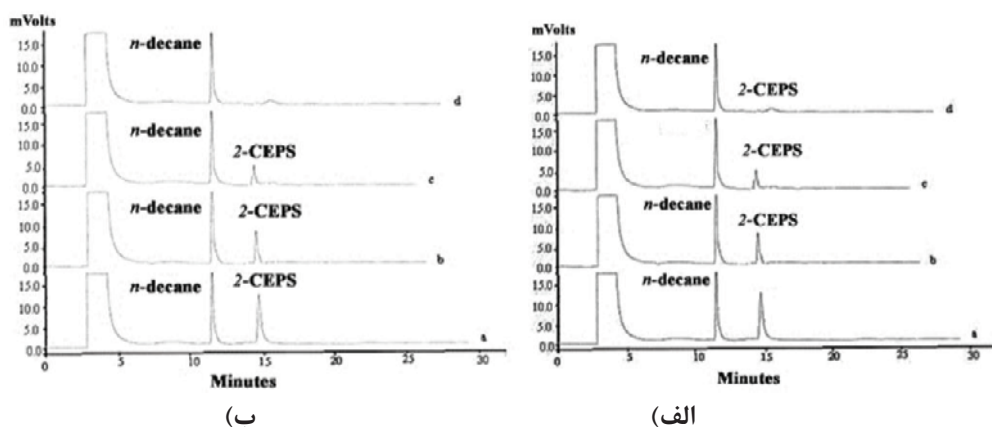
شکل ۷. کروماتوگرام‌های GC مخلوط واکنش CEES با کامپوزیت nano-MnO<sub>2</sub>/Zeolite AgY در حلal هگزان (شکل راست) و متانول (شکل چپ)

جدول ۱. داده‌های استخراج شده از کروماتوگرام‌ها در حلal و در زمان‌های مختلف

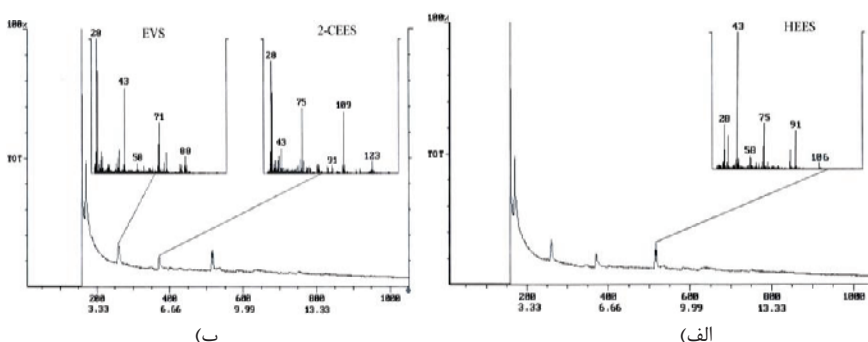
نمونه	زمان(ساعت)	متانول	% جذب/تخریب	هگزان
a	۰	۱۰۰	۱۰۰	۱۰۰
b	۲	۸۴/۴۷	۷۲/۱۷	۵۶/۹۲
c	۴	۶۱/۴۸	۲۹/۴۹	۹/۲۳
d	۶	۵۴/۶	۵۶/۹۲	۷۷/۱۷
e	۱۰	۲۲/۲۱	۱۰۰	۱۰۰

جدول ۲. داده‌های استخراج شده از کروماتوگرام‌ها در حلال و در زمان‌های مختلف

نمونه	زمان(ساعت)	اتانول	پنتان	% جذب/تخریب
a	•	۱۰۰	۱۰۰	
b	۴	۸۱/۴۷	۷۰/۵۸	
c	۸	۶۴/۴۸	۵۳/۹۰	
d	۱۲	۲۶/۷۸	•	

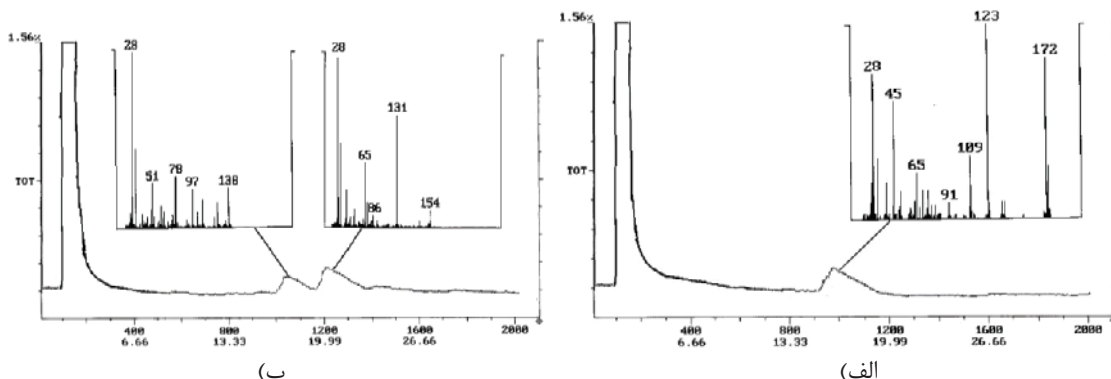
شکل ۸ کروماتوگرام‌های GC مخلوط واکنش کلرو اتیل فنیل سولفید با کامپوزیت nano-MnO<sub>2</sub>/Zeolite AgY (الف) در حلال اتانول (ب) در حلال پنتان

برای شناسایی محصولات حاصل از تخریب واکنش‌ها، از آن طیف کروماتوگرافی-طیف جرمی (GC-MS) گرفته شد. در شکل‌های (۹) و (۱۰) طیف‌های جرمی و الگوهای شکست آن‌ها آورده شده است. همان‌طور که در طیف مشاهده می‌شود پیک ظاهر شده در زمان‌های بازداری ۴/۲، ۶/۲ و ۸/۹ دقیقه به ترتیب مربوط به 2-CEES، اتیل وینیل سولفید(EVS) و هیدروکسی اتیل اتیل سولفید (HEES) هستند. با توجه به الگوهای شکست داده شده، ۲-کلرو اتیل اتیل سولفید با (m/z=۱۰۶) و محصولات حذفی اتیل وینیل سولفید با (m/z=۸۸) و هیدرولیز هیدروکسی اتیل اتیل سولفید با (m/z=۱۲۳) شناسایی شدند.



شکل ۹. طیف‌های جرمی و الگوهای شکست ترکیبات کلرو اتیل سولفید، اتیل وینیل سولفید و هیدروکسی اتیل اتیل سولفید

مطابق شکل (۱۰) اولین پیک ظاهر شده با زمان بازداری ۱۸ دقیقه مربوط به فنیل وینیل سولفید( $m/z=135$ ) و دومین پیک با زمان بازداری ۲۰ دقیقه متعلق به ۲-هیدروکسی اتیل فنیل سولفید( $m/z=154$ ) است.

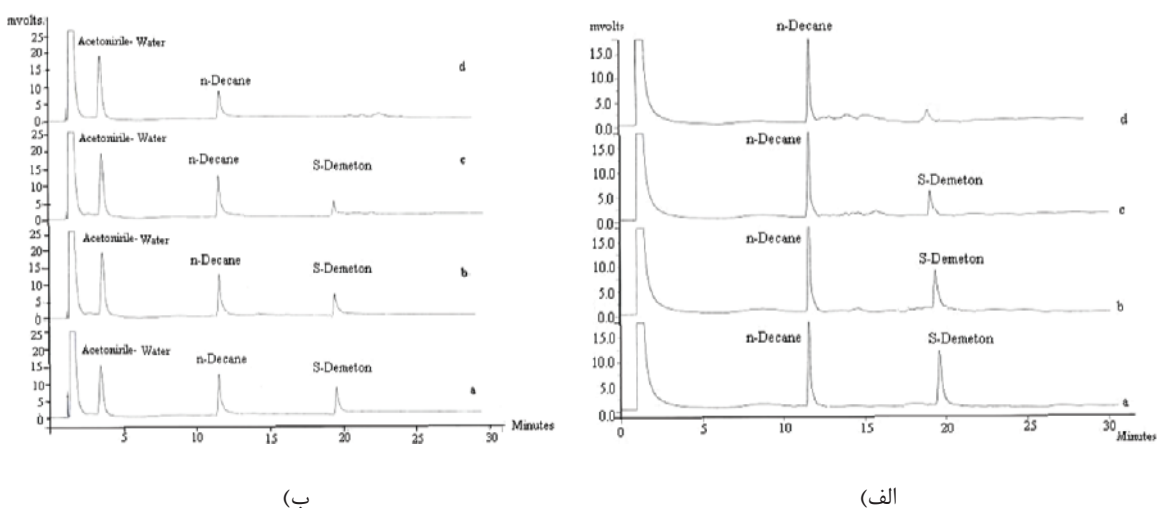


شکل ۱۰. طیف‌های جرمی و الگوی شکست ترکیبات (الف) کلرو اتیل فنیل سولفید قبل از آزمایش، (ب) فنیل وینیل سولفید و هیدروکسی اتیل فنیل سولفید بعد از آزمایش.

اندازه‌گیری میزان جذب و تخریب دمتون بهوسیله کامپوزیت  $\text{AgY}/\text{Zeolite MnO}_2/\text{nano-MnO}_2$  با روش‌های GC و

:GC-MS

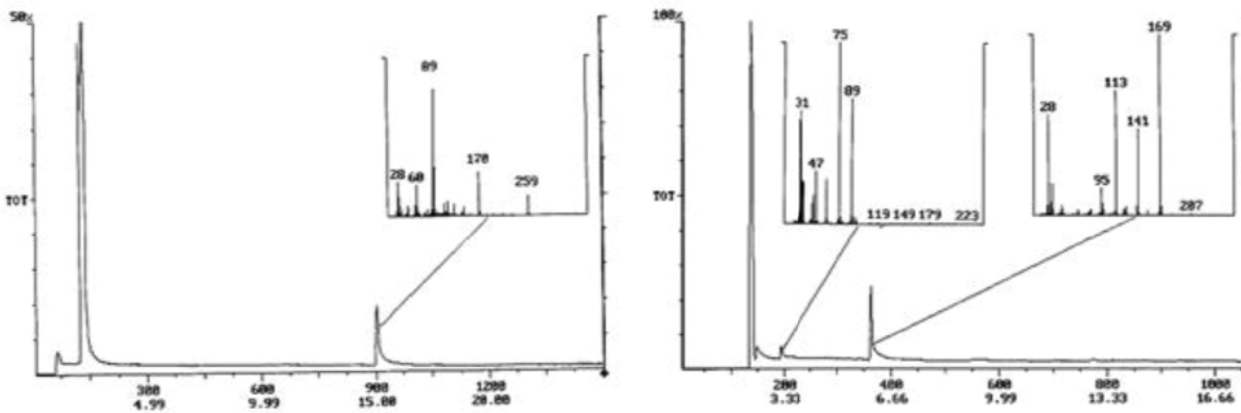
کروماتوگرامها مربوط به واکنش مولکول ارگانوفسفره دمتون در شکل‌های (۱۱) و جدول-۳ نشان داده شده است. همانطور که از کروماتوگرامها مشخص است با افزایش زمان سطح زیر پیک دمتون نسبت به استاندارد درونی دکان کاهش می‌یابد. داده‌های حاصل در جدول آورده شده است. با مشاهده‌ی این نتایج روشن است که پس از مدت ۱۲ ساعت حدود ۶۵٪ از ترکیب ارگانوفسفره در حلال اتانول جذب/تخریب می‌شود. در صورتی که راندمان واکنش با افزودن حلال استونیتریل-آب به ۱۰۰٪ می‌رسد به طوری که بعد از ۱۲ ساعت تمام دمتون تخریب خواهد شد و پیک مربوط به آن حذف می‌شود. جهت شناسایی محصولات حاصل از تخریب از آن طیف GC-MS گرفته شد. مطابق این شکل اولین پیک ظاهر شده با زمان بازداری ۳ دقیقه مربوط به ترکیب سولفوره‌ی متیل اتان سولفینات (methyl ethane sulfenate) و دومین پیک با زمان بازداری ۵ دقیقه متعلق به ترکیب دیگر محصول حاصل از تخریب یعنی او-متیل او-متیل اس وینیل فسفرو تیو ات O-ethyl-O-merhyle Vinyl Phosphorothioate است، که الگوهای شکست این ترکیبات در شکل (۱۲) اثبات کننده حضور این اجزاء به عنوان محصولات احتمالی واکنش می‌باشد.



شکل ۱۱: کروماتوگرام‌های GC مخلوط واکنش Demeton با کامپوزیت nano-MnO<sub>2</sub>/Zeolite AgY [الف] در حلال‌های استو نیتریل-آب-اتانول

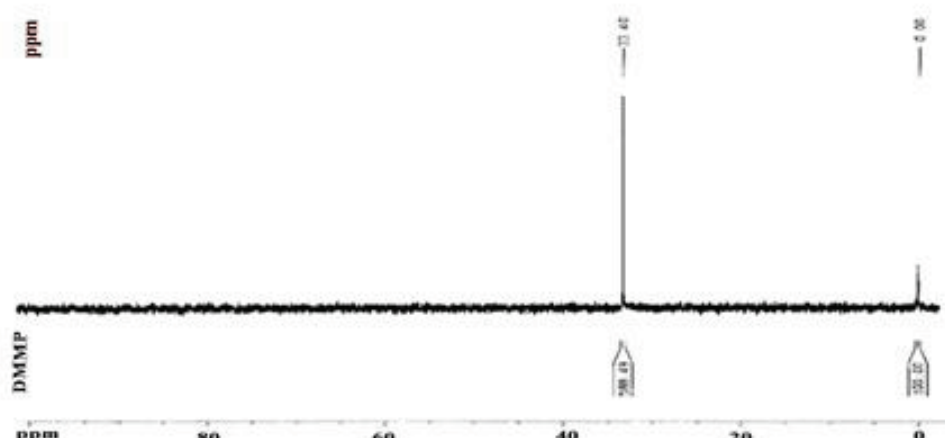
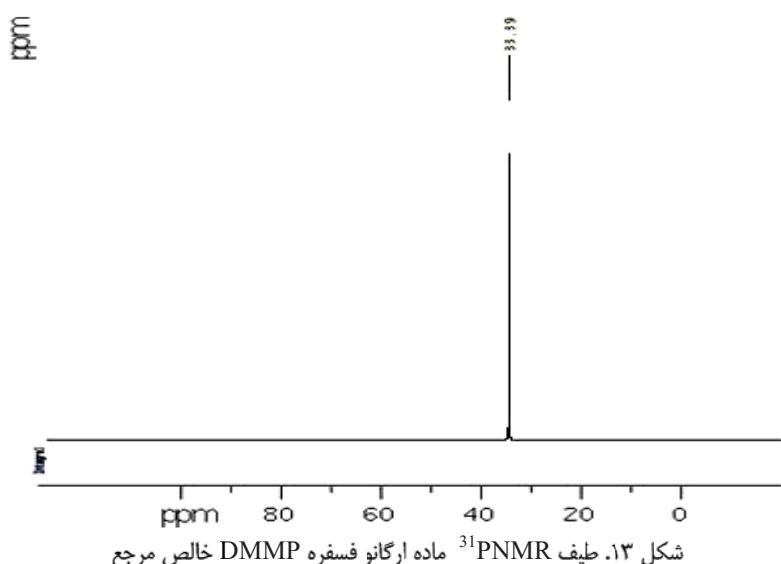
جدول ۳. داده‌های استخراج شده از کروماتوگرام‌ها در حلال و در زمان‌های مختلف

نمونه	زمان (ساعت)	استو نیتریل، آب، اتانول، پنتان	% جذب/تخریب	اتانول
a	•	۱۰۰	۱۰۰	۱۰۰
b	۴	۶۴/۲۶	۷۵/۴۵	۵۱/۴۹
c	۸	۳۰/۶۳	۳۵/۱۹	
d	۱۲			

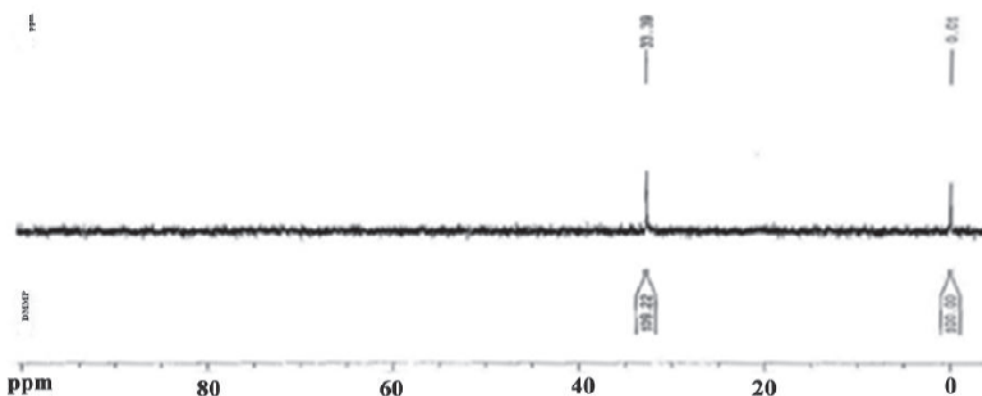


شکل ۱۲: طیف‌های جرمی و الگوی شکست ترکیب [الف] دمتون قبل از واکنش، ب) متیل اتان سولفینات (methyl ethane sulfenate)، او - اتیل او - متیل اس وینیل فسفروچیوات (o -ethyl o - methyl s -vinyl phosphorothiate) بعد از واکنش

بررسی میزان جذب و حذف دی متیل فسفونات با استفاده از روش  $^{31}\text{PNMR}$ <sup>31</sup>: برای بررسی واکنش کامپوزیت nano-MnO<sub>2</sub>/Zeolite AgY با ترکیب اورگانوفسفره دی متیل فسفونات (DMMP) از روش  $^{31}\text{PNMR}$  استفاده گردید. با مقایسه شکل‌های ۱۳، ۱۴ و ۱۵ مشخص می‌شود. که پس از رقیق شدن در کلروفرم اتفاقی رخ نداده زیرا هیچ گونه جابجایی طیف نداریم و طیف در یک نقطه ظاهر شده است. پیک با جابجایی شیمیایی  $\delta = 0 \text{ ppm}$  مربوط به شاهد فسفریک اسید و پیک ترکیب فسفره در  $\delta = 33\text{ppm}$  نشان داده شده است. همان‌طور که از طیف‌ها مشخص است با افزایش زمان از شروع واکنش سطح زیر پیک DMMP از  $588/49$  به  $109/22$  نسبت به سطح زیر پیک شاهد فسفریک اسید کاهش یافته که نشان دهنده این است که DMMP به وسیله کامپوزیت جذب شده است. به طوری که بعد از ۱۰ ساعت از زمان شروع واکنش، آن در حلal هگزان توسط این کاتالیست جذب و حذف خواهد شد. در طیف هیچ پیک جدیدی که نشان دهنده تشکیل محصول یا محصولات واکنش باشد مشاهده نمی‌شود.



شکل ۱۴: طیف‌های  $^{31}\text{PNMR}$  واکنش nano-MnO<sub>2</sub>/Zeolite AgY با کامپوزیت DMMP از شروع واکنش



شکل ۱۵: طیف‌های  $^{31}\text{P}$  NMR واکنش DMMP با کامپوزیت nano-MnO<sub>2</sub>/Zeolite AgY ، بعد از ۱۰ ساعت

#### نتیجه‌گیری:

در این تحقیق کاتالیست زئولیت NaY با استفاده از روش هیدروترمال سنتز شد. این ترکیب دارای توان بالایی برای دسولفوره کردن و حذف کلرو اتیل سولفید، کلرو اتیل فنیل سولفید، دمتون و دی متیل متیل فسفونات نمی‌باشد. لذا با استفاده از روش‌های تبادل یونی و فضای محدود به ترتیب با جایگزین شده یون‌های نقره و سنتز نانوذرات منگنز دی اکسید (به میزان ۲ wt% MnO<sub>2</sub> و ۸/۱۵) در ساختار آن عملکرد کاتالیستی زئولیت ارتقاء داده شد. در ادامه، از کامپوزیت سنتزی دو جزئی nano-MnO<sub>2</sub>/Zeolite AgY به دلیل دارا بودن مقادیر منگنز دی اکسید بیشتر برای جذب و تخریب کلرو اتیل سولفید، کلرو اتیل فنیل سولفید و دمتون انتخاب گردید. با توجه به نتایج به دست آمده مشخص شد که این کامپوزیت قادر است در دمای محیط بعد از ۱۰ ساعت در حلal هگزان، ۹۱ درصد از کلرو اتیل سولفید را جذب و به محصولات با سمیت کمتر یعنی اتیل وینیل سولفید و هیدروکسی اتیل اتیل سولفید تبدیل کند، در صورتی که در شرایط مشابه ولی در حلal مтанول ۷۷٪ از ترکیب سولفوره جذب/تخریب گردید. کلرو اتیل فنیل سولفید به ترتیب در حلal‌های اتانول و پنتان به میزان ۷۴٪ و ۱۰۰٪ جذب و تخریب و به محصولات فنیل وینیل سولفید و هیدروکسی اتیل فنیل سولفید تبدیل شد. نتایج حاصل از واکنش کامپوزیت nano-MnO<sub>2</sub>/Zeolite AgY با ترکیبات ارگانوفسفره‌ی دمتون و دی متیل متیل فسفونات مشخص نمود که این کاتالیست قادر است در زمان ۱۲ ساعت در حلal‌های اتانول و استونیتریل-آب-اتانول به ترتیب ۶۵٪ و ۱۰۰٪ از دمتون را جذب و تخریب و در مدت ۱۰ ساعت و در حلal هگزان ۸۲٪ از دی متیل متیل فسفونات را جذب نماید.

# The Desulfurization and Removal of Sulfurous and Organo-phosphurous Compounds via Using MnO<sub>2</sub> Nanoparticles/Zeolite AgY Composite Catalyst

Meysam Sadeghi\*, Mohammad Reza Shahdadi, Hussein Toolabi and Mir Hassan Husseini

Department of chemistry, Faculty of Basic Sciences, Imam Hussein Comprehensive University, Tehran, Iran

Received: 31 January 2012

Accepted: 17 June 2012

## Abstract

In this research, zeolite NaY molecular sieve was prepared by a hydrothermal method. Then, silver ions were replaced in the zeolite NaY with silver nitrate ( $\text{AgNO}_3$ ) solution via using ion exchange (IE) method for the preparation of zeolite AgY. In the next step, the Manganese dioxide ( $\text{MnO}_2$ ) nanoparticles (9.3 and 15.8 wt %) as guest were deposited in the zeolite AgY (as host) structure with  $\text{Mn}(\text{NO}_3)_2$  aqueous and  $\text{KMnO}_4$  solutions via confined space synthesis (CSS) method. Synthesized samples were studied and characterized via SEM/EDAX, XRD and FTIR techniques. The desulfurization and removal reactions of sulfurous compounds of chloroethyl ethyl sulfide (CEES), chloroethyl phenyl sulfide (CEPS) and organo-phosphurous compounds of demeton and dimethyl methyl phosphonate (DMMP) have been investigated by 15.8 wt% Nano  $\text{MnO}_2$ /Zeolite AgY composite via the influences of various parameters such as solvent and time by using gas chromatography (GC) and  $^{31}\text{P}$ NMR. Then, products of the elimination and destruction reactions were identified via gas chromatography-mass spectrometry (GC-MS). These products have less toxic to compare sulfurous and organo-phosphurous compounds under reaction.

**Keywords:** Nano  $\text{MnO}_2$ /Zeolite AgY, Chloroethyl ethyl sulfide, Chloroethyl phenyl sulfide, Demeton, Dimethyl methyl phosphonate, Desulfurization.

\*. Corresponding author: Department of chemistry, Faculty of Basic Sciences, Imam Hussein Comprehensive University, E-mail address: meysamsadeghi45@yahoo.com

## مراجع:

- [1] P. W. Bartram, G.W. Wagner, *US. Pat.* 537382, 2003.
- [2] Y. C. Yang, L. Szafraniec, W. T. Beudry and D. K. Rohrbaugh, *J. Am. Chem. Soc.* **112** (1990) 6621.
- [3] D. K. Dubey, R. Nath and R. C. Malhotra, *Tetrahedron Lett.* **34** (1993) 7645.
- [4] P. K. Gutch, R. S. avindra and J. Acharya, *J. Appl. Polym. Sc.* **121** (2011) 2250.
- [5] S. C. Stout, S. C. Larsen and V. H. Grassian, *Micropor. Mesopor. Mat.* **100** (2007) 77.
- [6] S. O. Kim, E.D. Park, E.Y. Ko, *US. Pat.* 0162557, 2006.
- [7] C. W. Kanyi, D. C. Doetschman and J. T. Schulte, *Micropor. Mesopor. Mat.* **124** (2009) 232.
- [8] C. H. Bärlocher, W. M. Meier and D. H. Olson, *Rev. Ed., Elsevier, Amsterdam*, 2001.
- [9] H. Ghobarkar, O. Schlaf and U. Guth, *Prog. Solid. St. Chem.* **27** (1999) 29.
- [10] R. Milad, Y. Nakisa, C. Sahar and R. S. Mohammad, *Micropo. Mesopor. Mater.* **11** (2011) 045.
- [11] L. L. Ma, B. Shen, J. H. Zhu and J. R. Xia, *Chin. Chem. Lett.* **11** (2000) 649.
- [12] Lin. Ligang, Zhang. Yuzhong, Y. Hong and L. Fuwei, *J. Colloid Interf. Sci.* **360** (2011) 753.
- [13] Y. Zhong-Yong, R and Tie-Zhen, *Chem. Phys. Lett.* **389** (2009) 83.
- [14] M. Richter, H. Berndt, R. Eckelt, M. Schneider and R. Fricke, *Catal. Today* **54** (1999) 531.